

九州東海大学 ○ 星田 義治  
東海大学 市川 魁  
東京大学 玉井 信行

1. まえがき； 井戸を用いて地下水を揚水する場合、井戸の内井において水位差（本論文では、井戸ロスと呼ぶ）が生ずることは、周知の事実である。著者たは、井戸ロスの発生機構について考察し、その主たる要因として、不圧地下水における井戸枠の抵抗であり、不圧地下水における井戸枠の抵抗と船直流による浸潤面であることを、理論および室内実験によって検証している。

井戸枠の抵抗を考慮した解析方法とは、井戸における運動方程式に井戸枠の抵抗を考慮し、この式を井戸理論に統一的に組み込んで解を得たものである。このため、この解析方法の特徴として、井戸ロスの定量的予測が可能であることに付ける。井戸内および井戸枠のすぐ外側の水位変動と観測井における水位変動を同時に表現できるため、井戸ロスや帶水層定数の評価の精度がより高められるものと思われる。今回の結果は、この解析手法を不圧帶水層における2ケースの現地試験に適用した結果、解析手法の有効性が確かめられたので報告する。

2. 理論； 不圧帶水層における井戸枠の抵抗を考慮した井戸における運動方程式を無次元で表わすと次のようになる。  
 $Z_s = \alpha (g_s - g_w)^{1/2} (2g_s + g_w) / 3 \quad (1)$  ここで、  $Z_s = Q_s / (2\pi R^2 H^2)$ ,  $\alpha = (T_w K) / (R H)$ ,  
 $g_s = R_s / H$ ,  $g_w = R_w / H$  であり,  $Q_s$ : 井戸への汲み出し量,  $R_s$ : 井戸の半径,  $H$ : 帯水層の初期水位,  
 $K$ : 渗透係数,  $R_s$ : 井戸枠のすぐ外側の水位,  $R_w$ : 井戸内の水位,  $K = \sqrt{2g / \gamma F}$  であり,  $g$ : 重力の加速度,  $\gamma F$ : 井戸枠のストレーナーを地下水が通過するときの諸損失係数である。式(1)における  $\alpha$  は、井戸枠の無次元抵抗係数であり、室内実験の結果より、主として、井戸枠の開孔率と井戸からの無次元の汲み出し量に関係することを確かめている。そして、1つの実験式として次のようくに表現することができる。

$\alpha = 0.59 Z_0^{0.51} \exp(10Y)^{0.35} \quad (2)$  ここで、  $Y$ : 井戸枠の開孔率（井戸枠の開孔部の面積を全側面積で除した値）である。また、井戸における連続条件式は、次のようである。  
 $\frac{\partial g}{\partial T} = 2\beta'(Z_s - Z_o) \quad (3)$  ここで、  $T = \frac{RHT}{\beta' A_w}$ ,  $\beta' = \frac{1}{1 - A_p/A_w}$ ,  $Z_o = \frac{Q_o}{2\pi R^2 H^2}$  であり、  $\beta$ : 有効空隙率,  $t$ : 揚水開始後の時間,  $Q_o$ : 一定の揚水量である。式(1), (2)を井戸における境界条件とし、井戸の半径および影響半径を有限とし、さらに、帯水層は、均質・等方性で、ダルシー則および準一様流の仮定を前提として立て立つ帶水層内の基礎式（式(4)に示す）を数值計算した。この解を現地試験へ適用するものである。

$$\frac{\partial g}{\partial T} = \frac{1}{T} \frac{\partial}{\partial T} (X g \frac{\partial g}{\partial X}) \quad (4) \quad \text{ここで, } X = \frac{r}{R}, \quad g = \frac{h}{H} \text{ である。}$$

3. 解の現地への適用； 今回解析の対象とした現地は、東京都世田谷区砧汐川河川敷内揚水試験<sup>2)</sup>およびアメリカのネブラスカにおける揚水試験<sup>3)</sup>の2ケースである。汐川地点における揚水井は、汐川の低護岸より約13m離れた位置にあり、口径50cmで深度20mである。ストレーナーは、開孔率Y=14.6%で、地表下5mより15mの長さで設置されている。なお、この地点における帯水層は、玉石まじり砂砾で、厚さは、20~30m以下と推定されている。観測井は、口径50mmで汐川と平行方向に5mと10mの位置に設置され、この地点における揚水試験データ（表-1）を用いて、解析した結果を図1に示す。

表1 揚水試験データ

揚水量	初期水深	最終水深
5000m <sup>3</sup> /s	15m	9.7m

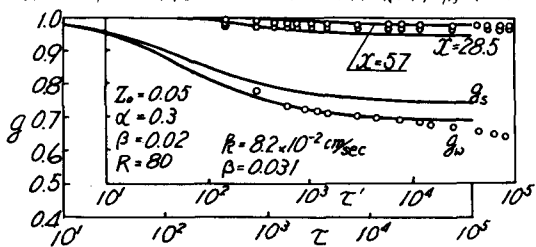


図1 水位の時間的空間的変動を利用した解析

図1において、井戸内の水位（点で表わしてある）と $X=57$ 観測井地点における水位の時間的変動は、実測値（○印で示す）と理論値（実線で示す）でおよそ一致しているが、 $X=28.5$ 地点の観測井の水位は、理論値より高くなる。この原因の1つに試験井周辺の帶水層の不均質性を考えられる。解析結果は、透水係数 $k=0.82 \times 10^{-1} \text{ cm/sec}$ 、有効空隙率は、入力値 $\beta=0.02$ に対し、計算値は、 $\beta=0.031$ となる。この両者は一致することが望ましいが、この程度のちがいは、工学的には許容できるものと思われる。この同じデータを既往の方法で求めた値は、 $k=1.5 \times 10^{-1} \text{ cm/sec}$ 、 $\beta=0.0062$ である。本論文における解析手法で算定した値といふらうの差があるのは、これらの値が両方法とも四式解法で求められていること、および、既往の方法による解は、観測井だけのデータを用いて算定しており、本論文のように、揚水井や井戸口ロスを含む全体的関係から求められておりそのためであろうと思われる。図1に示されている $g_s$ 曲線は、井戸群のすぐ外側の水位の計算値である。この現地試験においては、井戸群のすぐ外側の水位は実測されておらず直接比較することは、できない。図1で計算された $g_s$ の値を式(2)に入れて計算した開孔率は、 $Y=6\%$ であり、実際の開孔率の半分以下である。井戸口ロスは、段階試験を用いたJacobの方法では、 $2.6 \text{ m}$ と算出されており、この値は、図1より算出される $0.77 \text{ m}$ の約3倍である。このどちらが正確か実測値がないので不明であるが、仮に、計算値をJacobの井戸口ロスに近づけると井戸群の無次元抵抗係数が非常に小さくなり、その結果、井戸群の開孔率が1%以下という不合理的な値をとることになる。また、多摩川のこの井戸における船直流水によって生ずる浸潤面を著者らの理論<sup>1)</sup>で算定すると約20cmとなる。さらに、井戸群の開孔率が44.6%であることを考慮すれば、井戸口ロスが $2.6 \text{ m}$ 生じて $Y=6\%$ という点につくらの無理があるようと思われる。

次に、アメリカのケブラスカにおける揚水試験について述べる。この地点における帶水層を形成する地層は、砂礫層よりなり、透水性が極めて良好である。この井戸は灌漑用の井戸として掘られたものであり、口径24 inches(約60cm)、深さ39.5 feet(約12m)である。観測井は、井戸の半径方向に一直線上に配置され、口径約1.2 inch(約3cm)である。表2の揚水試験データを用いて解析した結果を図2に示す。

図2において、揚水井および5ヶ所の観測井における水位の時間的変動が本論文における解析手法で大体再現されており、また、図2におけるシミュレーション結果との値より計算される開孔率は、 $Y=26\%$ で、この井戸が口径60cmのジョンソンフリーンを用いていることすると、公称の開孔率に近く、妥当な結果と思われる。このように、現地試験と理論が一致した理由として考えることは、この揚水地帯における帶水層が理論の前提としていくべき仮定条件(たとえば、均質性、等方性等)に近いものであることが考えられる。大陸の平原では、地盤の均質性が高いために相符合でき、本論文における解析手法の妥当性が確認できたものと思われる。図2における井戸口ロスは、約13cmと小さいが、開孔率が26%と大きく、60cmの口径が $2850$ 倍程度の揚水量であれば、13cmの井戸口ロスは、妥当な値であると思われる。

#### 参考文献

- 1) 星田・市川：“揚水における井戸口の許容開孔率”，土壤会報文報告集 第313号 PP.37~46, 1981.
- 2) 日産工業株式会社：“地下淨水場付近河川敷ボーリング工事報告書(解析編) PP.31~147, 1981.
- 3) Wenzel L.K. and V.C. Fisher : Method for Determining Permeability of Water-Bearing Materials with Special Reference to Discharge Well Methods, Water-Supply Paper 887, PP.117~190, 1942.

表2 揚水試験データ

揚水量	初期水深	最終水深
2850 m <sup>3</sup> /s	12 m	9.3 m

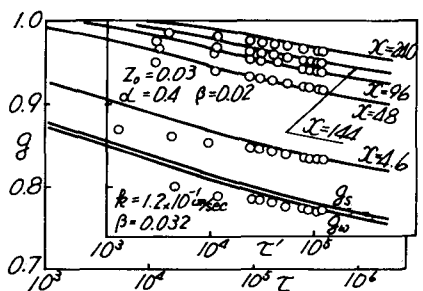


図2 水位の時間的空間的変動を利用して解析